









JDD CETIM 2023

Caractérisation accélérée de la fatigue à très grand nombre de cycles de pièces de fabrication additive par essais d'autoéchauffement et par machine de fatigue ultrasonique

Sommaire

1. Contexte et objectifs

- 2. Obtention et caractérisation des nuances
- 3. Essais de fatigue ultrasonique
- 4. Essais d'autoéchauffement
- 5. Conclusions et suite











Contexte

Encadrement:

- V. Favier (PIMM)
- I. Koutiri (PIMM)
- V. Bonnand (ONERA)





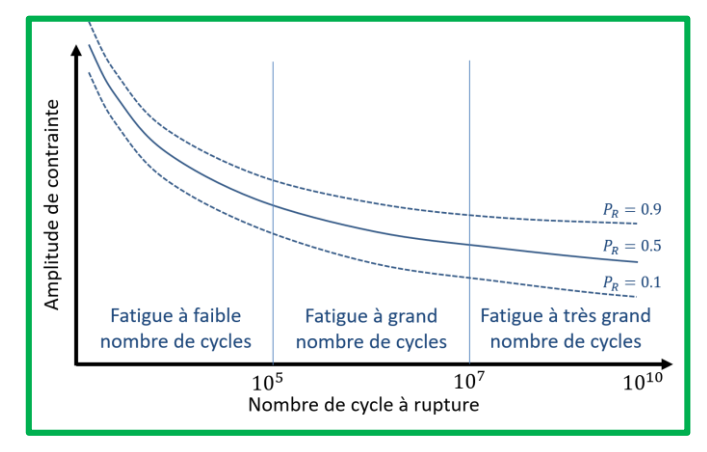


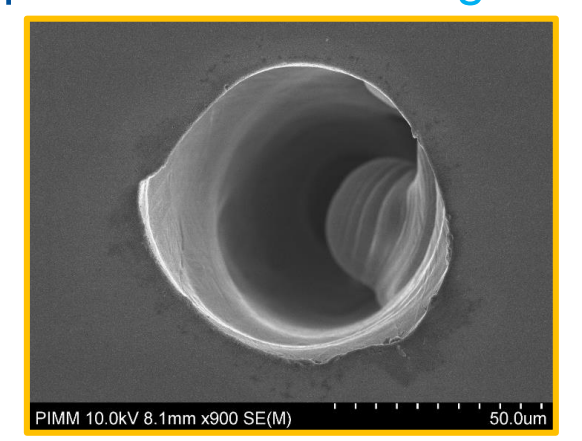


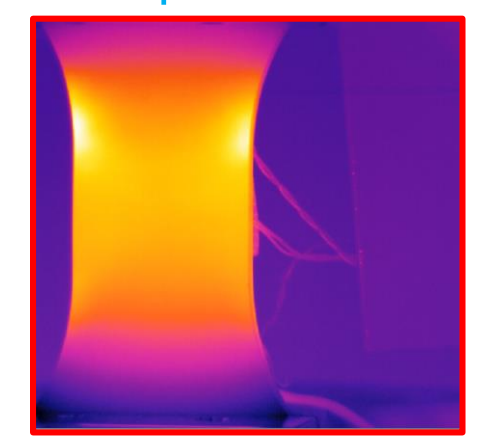
Financement: CETIM et ONERA par leur contribution à AFH

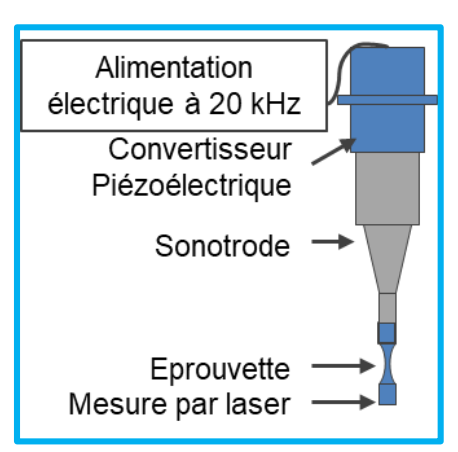
Sujet et notions clefs :

Caractérisation accélérée de la fatigue à très grand nombre de cycles de pièces de fabrication additive par essai d'autoéchauffement et par machine de fatigue ultrasonique











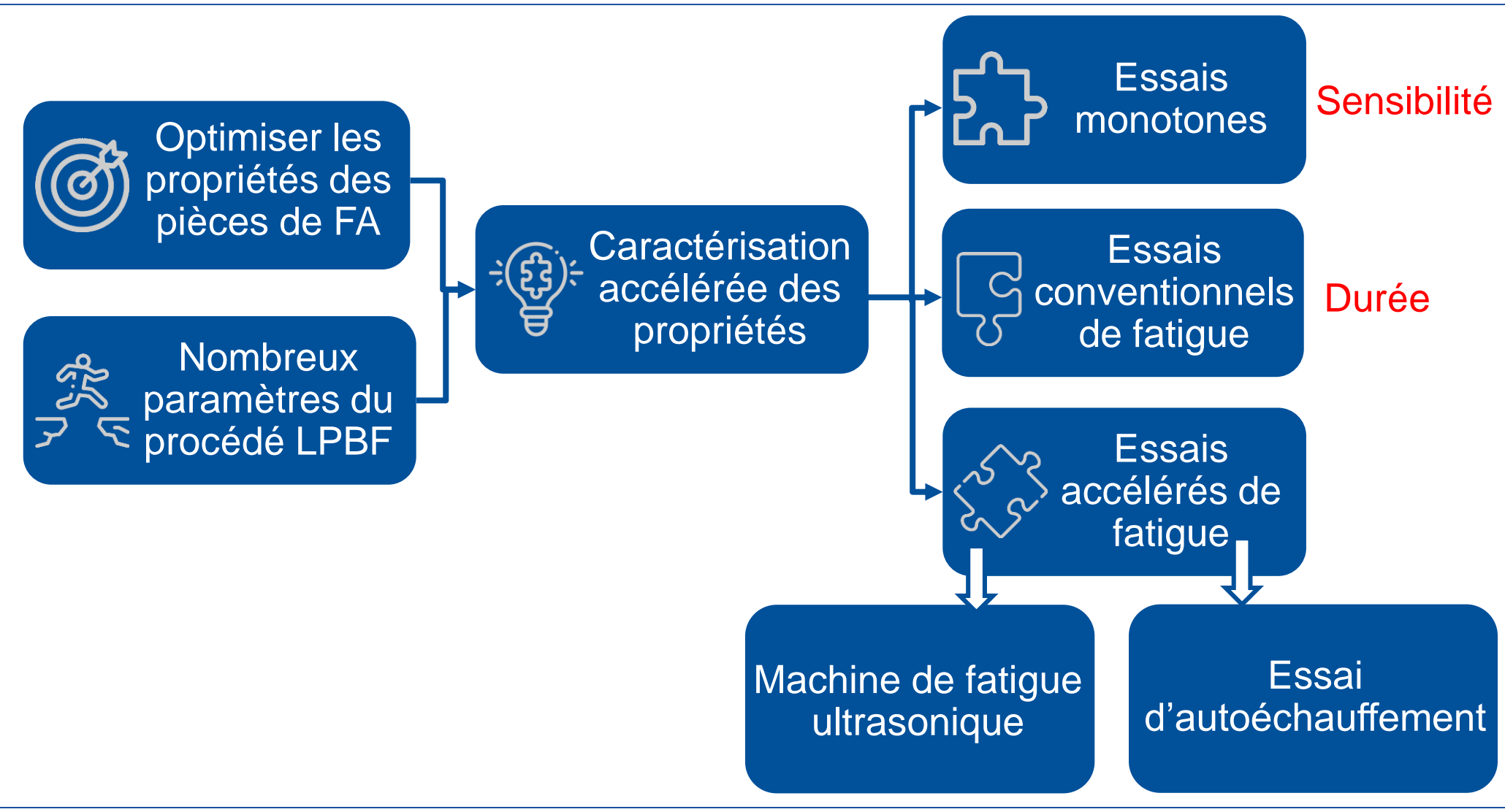








Contexte







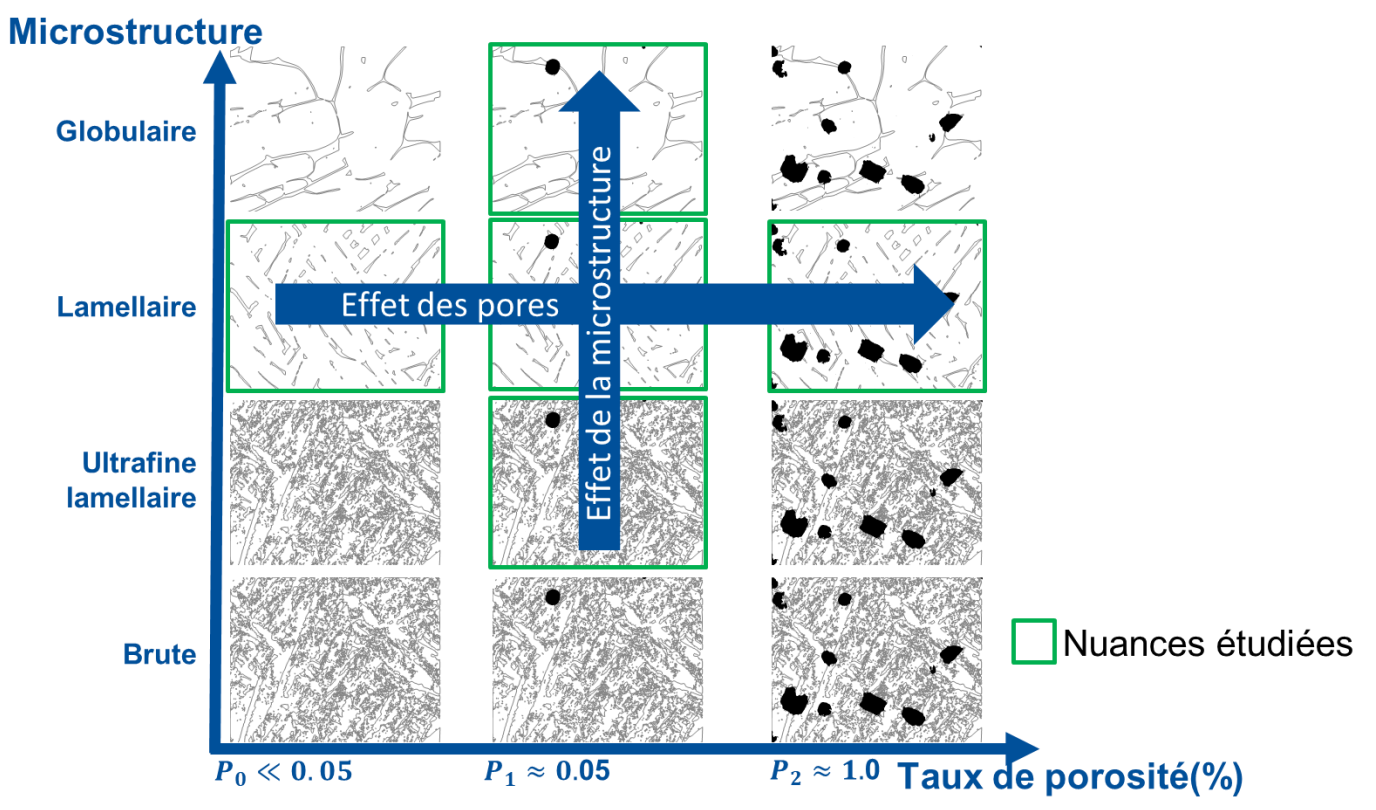






Objectifs

- Comparer ces deux méthodes d'essais accélérés de fatigue entre elles et avec des essais conventionnels
- Analyser l'effet de la porosité et de la microstructure sur la résistance en fatigue à très grand nombre de cycles du TA6V par LPBF



Essais de fatigue ultrasonique et d'autoéchauffement sur 5 nuances du TA6V par LPBF











Sommaire

- 1. Contexte et objectifs
- 2. Obtention et caractérisation des nuances
- 3. Essais de fatigue ultrasonique
- 4. Essais d'autoéchauffement
- 5. Conclusions et suite





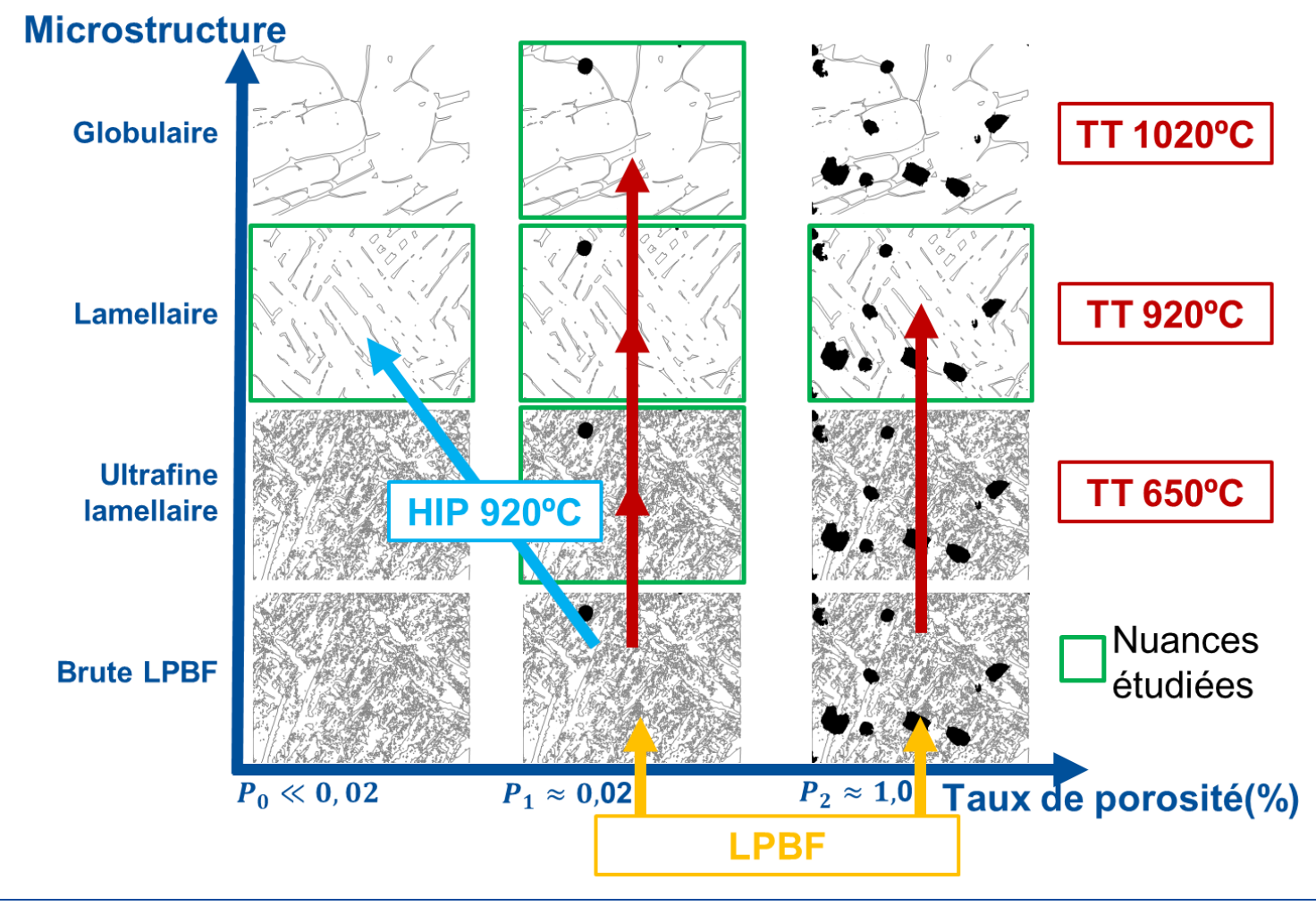






Obtention et caractérisation des nuances

Stratégie d'obtention des différentes nuances du TA6V par LPBF













Obtention et caractérisation des nuances : porosité

- 1. Choix des paramètres de fabrication à l'aide de mesures de porosité par coupe micrographique
- 2. Analyse de la porosité par microtomographie X sur 9 éprouvettes traitées :
 - Taille de voxel $4*4*4 \mu m^3$, pores de plus de 10 μ m considérés
 - Aucun pore détecté sur la nuances P₀ (HIP 2h, 920°C, 2000 bar)
 - Taux de porosité : $P_1 \approx 0,001 \%$, $P_2 \approx 1,0 \%$

Nuance	$P_0_920^{\circ}C$	$P_{1}_{1}1020^{\circ}C$	$P_1_650^{\circ}C$	$P_1_920^{\circ}C$	$P_2_920^{\circ}C$
Taux de porosité (ppm)	< 1	2 ± 0.2	3 ± 0.1	11 ± 0.4	10713 ± 20
Taille maximale de pore (µm)	< 10	36	51	44	260
Densité de pore $> 10 \mu\mathrm{m} \; (\mathrm{mm}^{-1})$	0.0	0.7	0.6	2.2	117.3
Taux de porosité (ppm)	< 1	2 ± 0.1	2 ± 0.1	3 ± 0.2	
Taille maximale de pore (µm)	< 10	35	24	33	
Densité de pore $> 10 \mu\mathrm{m} \; (\mathrm{mm}^{-1})$	0.0	0.4	0.7	0.6	







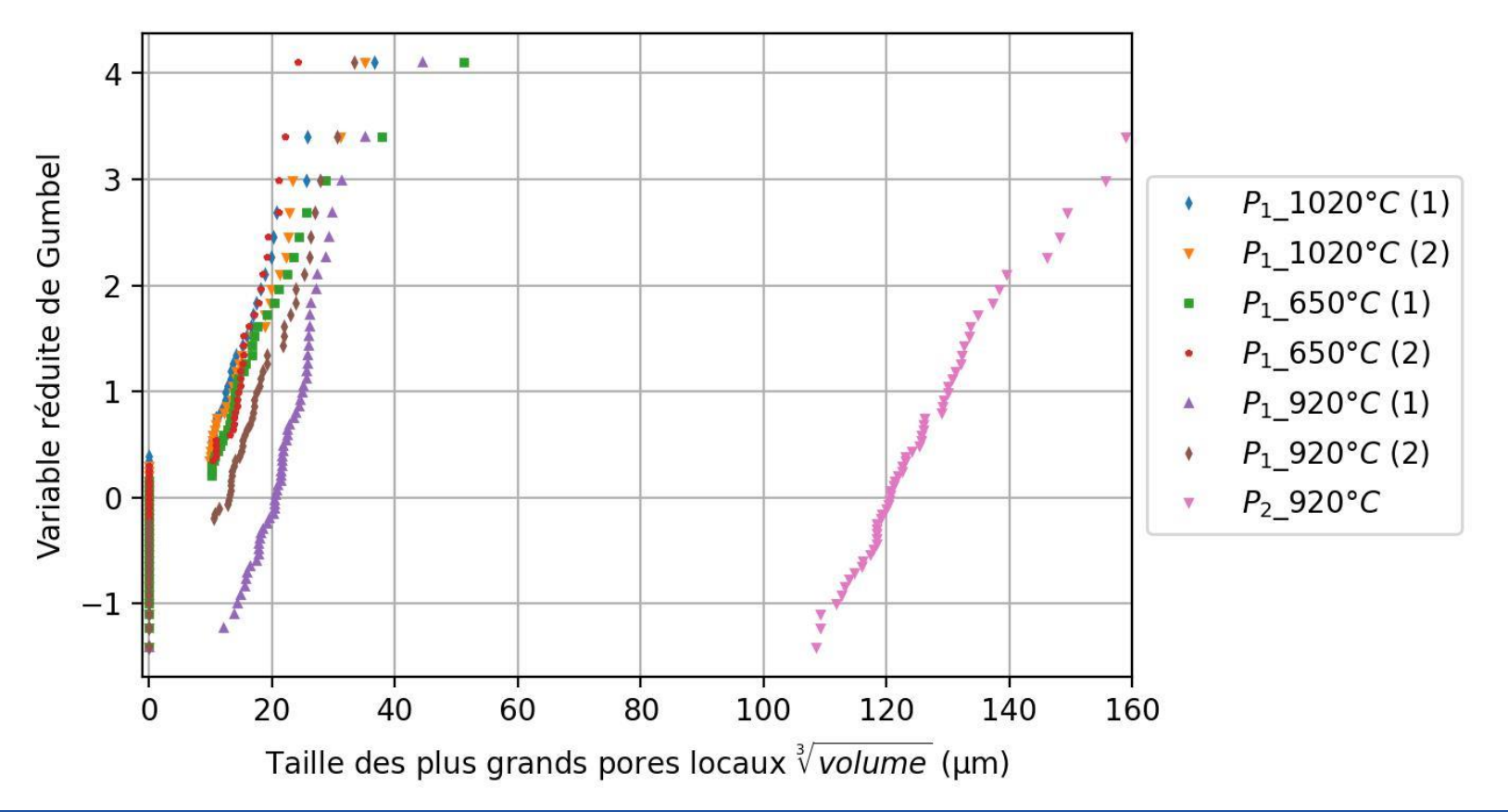




Obtention et caractérisation des nuances : porosité

Distribution de la taille des plus grands pores de différents sous-volumes tomographiés :

- Distribution bien distincte entre les deux niveaux de porosité, reproductible pour P1
- Distribution représentable par une loi de Gumbel (statistique des extrêmes)









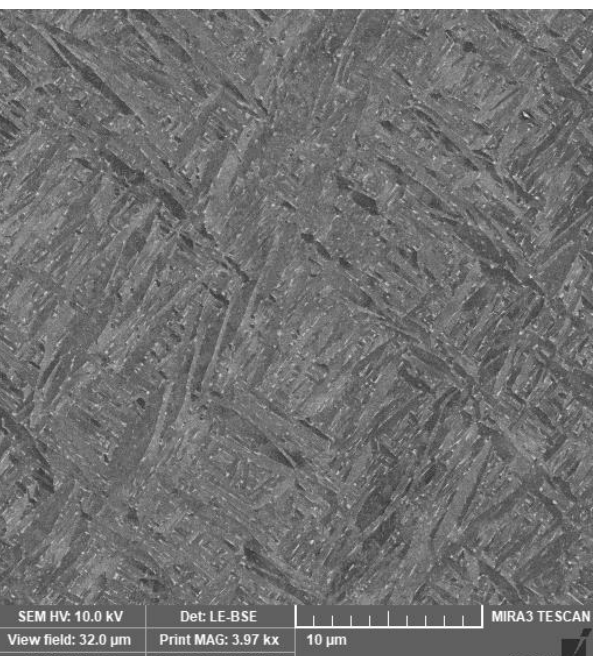




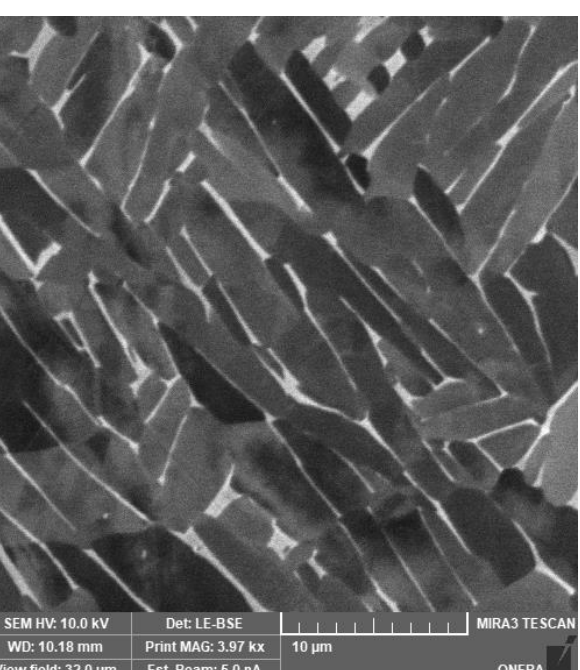
Obtention et caractérisation des nuances : microstructure

Microscopie BSE, même échelle

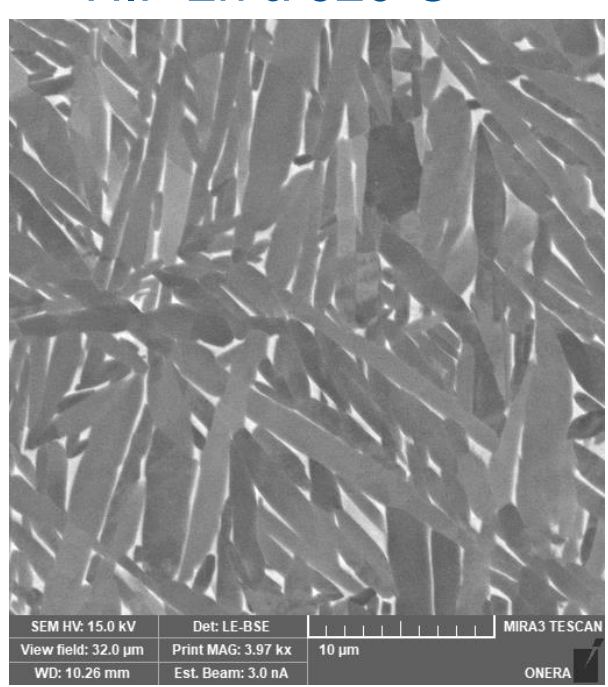
3h, 650°C, r. à l'air



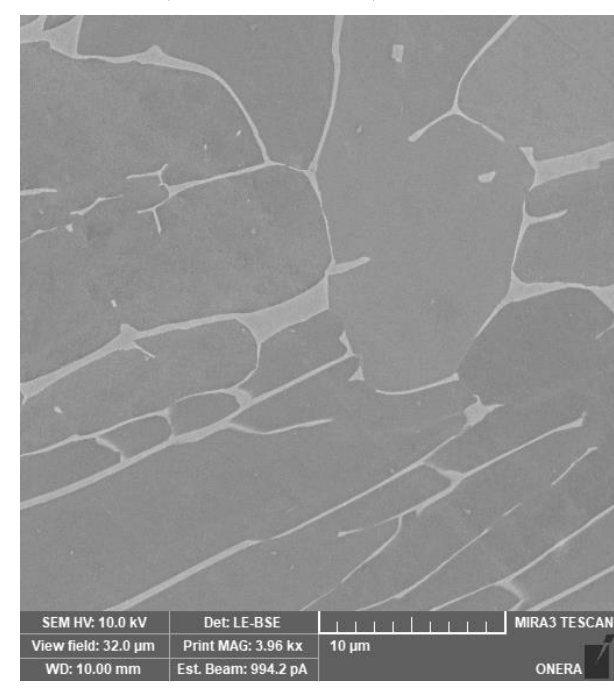
2h à 920°C r. four



HIP 2h à 920°C



2h, 1020°C, r. four



Grain : lamelle α/α' de 0,4 μm de large

Grain : lamelle α de 1,6 μm de large

Grain : colonie lamellaire α + β de 200 μm











Obtention et caractérisation des nuances : essais de traction

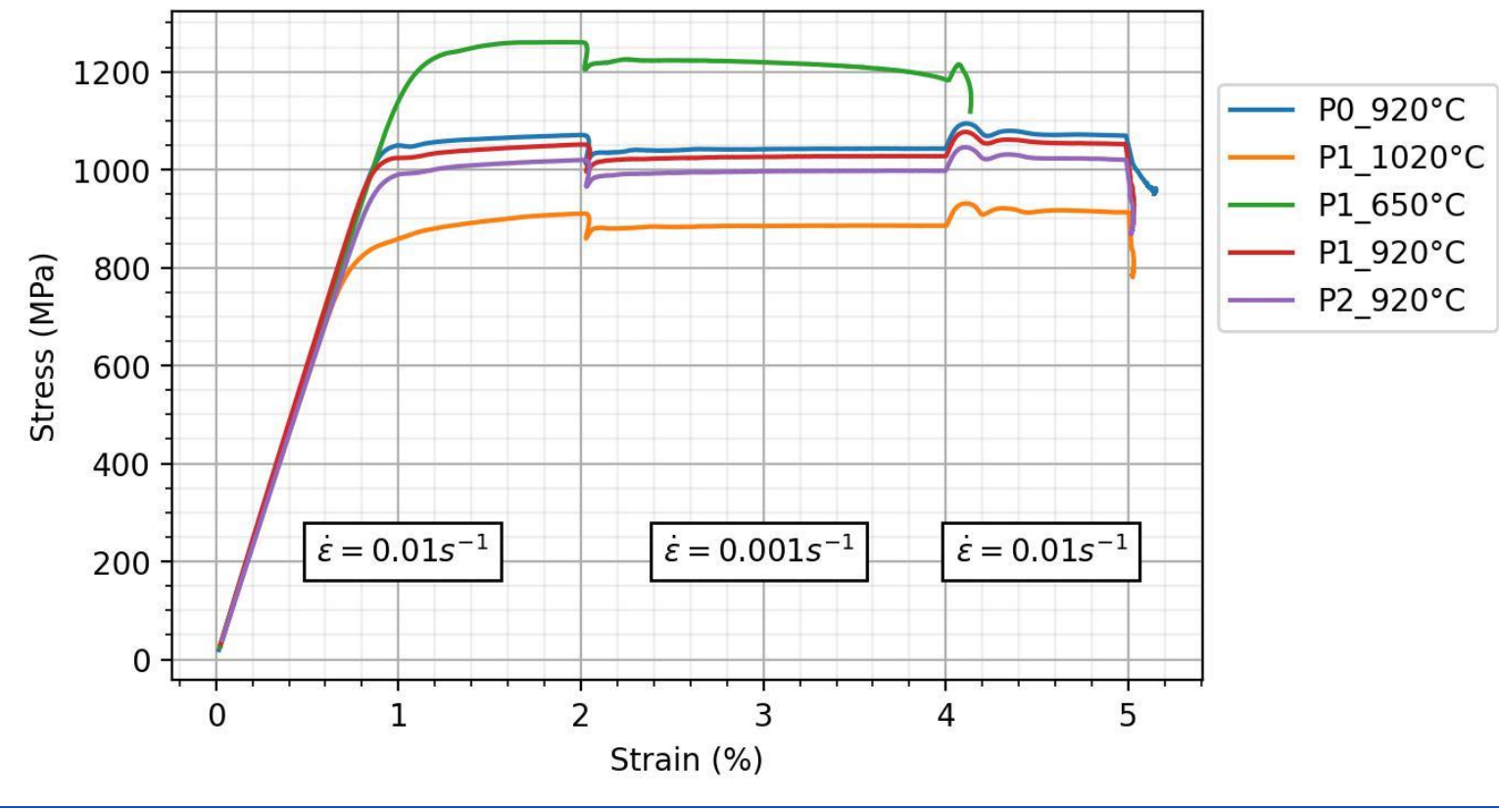
Essais de traction à deux vitesses de déformation + relaxation de 5 min :

- Fort effet de la microstructure
- Effet visible mais plus faible de la porosité

Sensibilité à la vitesse de déformation indépendante de la nuance et relativement faible :

 $\sigma = \sigma_0 \dot{\varepsilon}^m$, avec $m \approx 0.021$

Nuance	Re0,2% (MPa)		
P0_920°C	1047		
P1_1020°C	850		
P1_650°C	1235		
P1_920°C	1024		
P2 920°C	992		













Sommaire

- 1. Contexte et objectifs
- 2. Obtention et caractérisation des nuances
- 3. Essais de fatigue ultrasonique
- 4. Essais d'autoéchauffement
- 5. Conclusions et suite







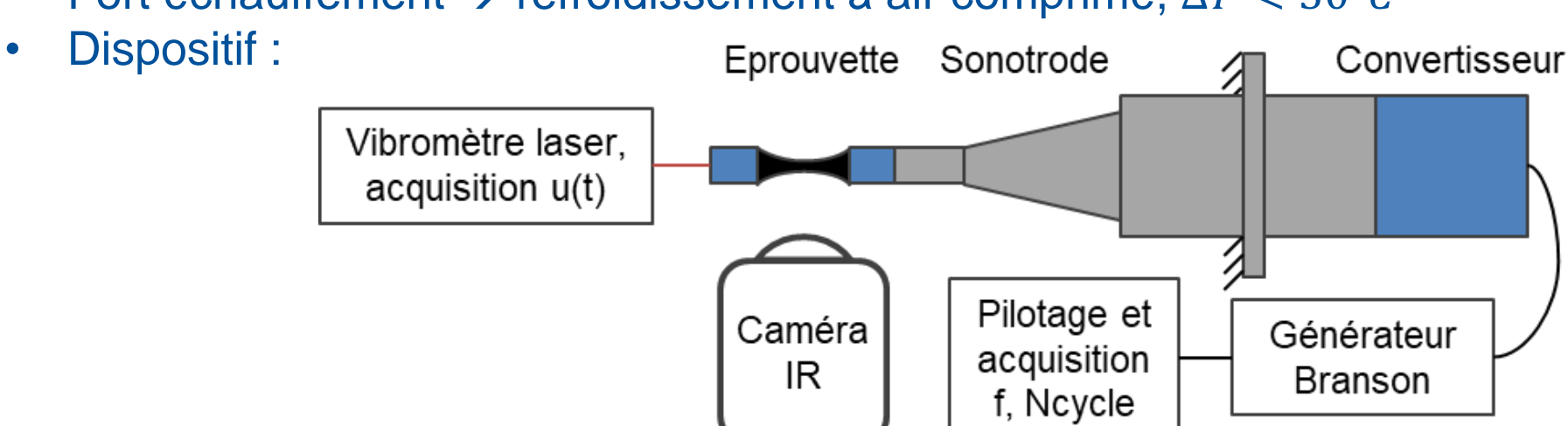




Matériaux et méthode : essais de fatigue ultrasonique

Spécificités de l'essai :

- Essai piloté en déplacement : déplacement sinusoïdal à 20 kHz imposé en bout d'éprouvette
- Hypothèse d'élasticité linéaire à l'échelle macroscopique pour imposer la contrainte voulue
- R = -1
- Fort échauffement \rightarrow refroidissement à air comprimé, $\Delta T < 30^{\circ}C$



Méthode:

- Courbe SN en visant des durées de vie proche de 10⁷-10⁸ cycles
- Essai arrêté si non rompu à 10⁹ cycles
- 47 éprouvettes testées





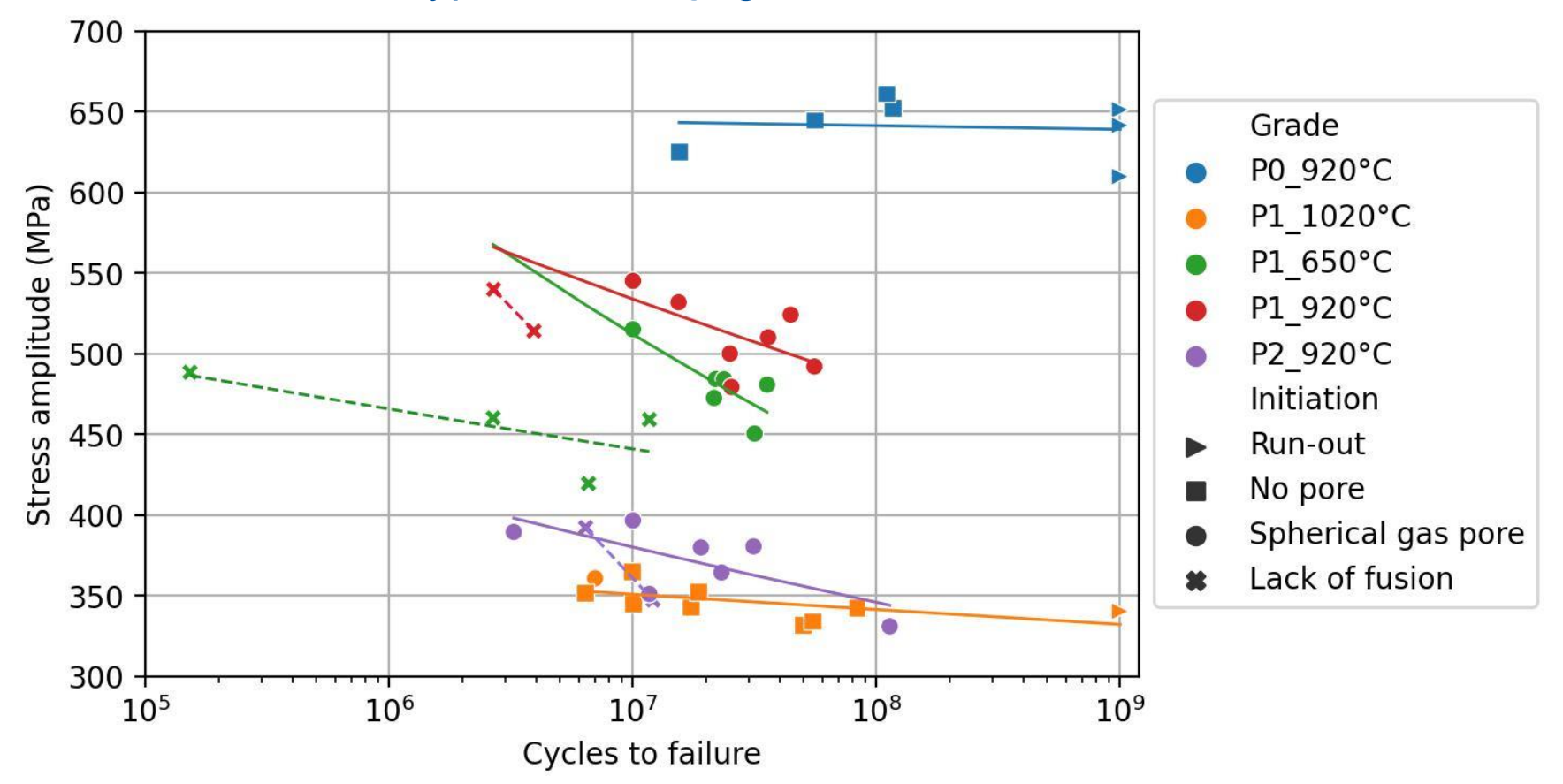






Résultats : courbes de Wöhler

- Résistance en fatigue bien différente selon le niveau de porosité ou le traitement
- Grande dispersion, en particulier pour les nuances P1-650°C et P1-920°C
- Dispersion liée aux différents types d'amorçage : courbes SN bimodales









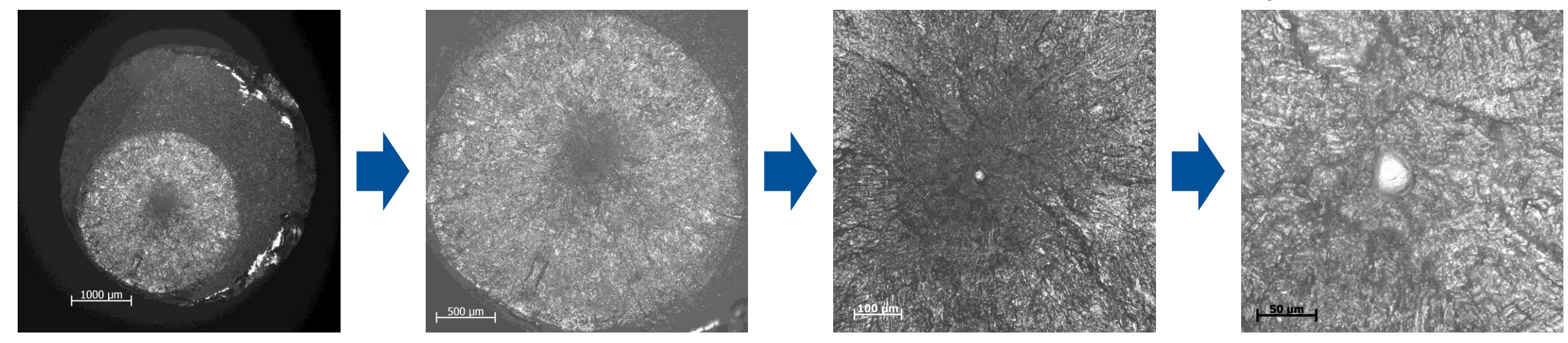




Trois types d'amorçage observés :

- Sans pore
- Sur un pore de type manque de fusion (\sqrt{Area} de 76 à 600 µm)
- Sur un pore de type **bulle de gaz** (\sqrt{Area} de 12 à 156 µm)
- ➤ La plupart des amorçages sont **internes** (38, 7 en sub-surface, 2 en surface)

Exemple de faciès d'éprouvettes P1-920°C : Amorçage interne sur bulle de gaz ($N_f = 3.6.10^7 \ cycles$)







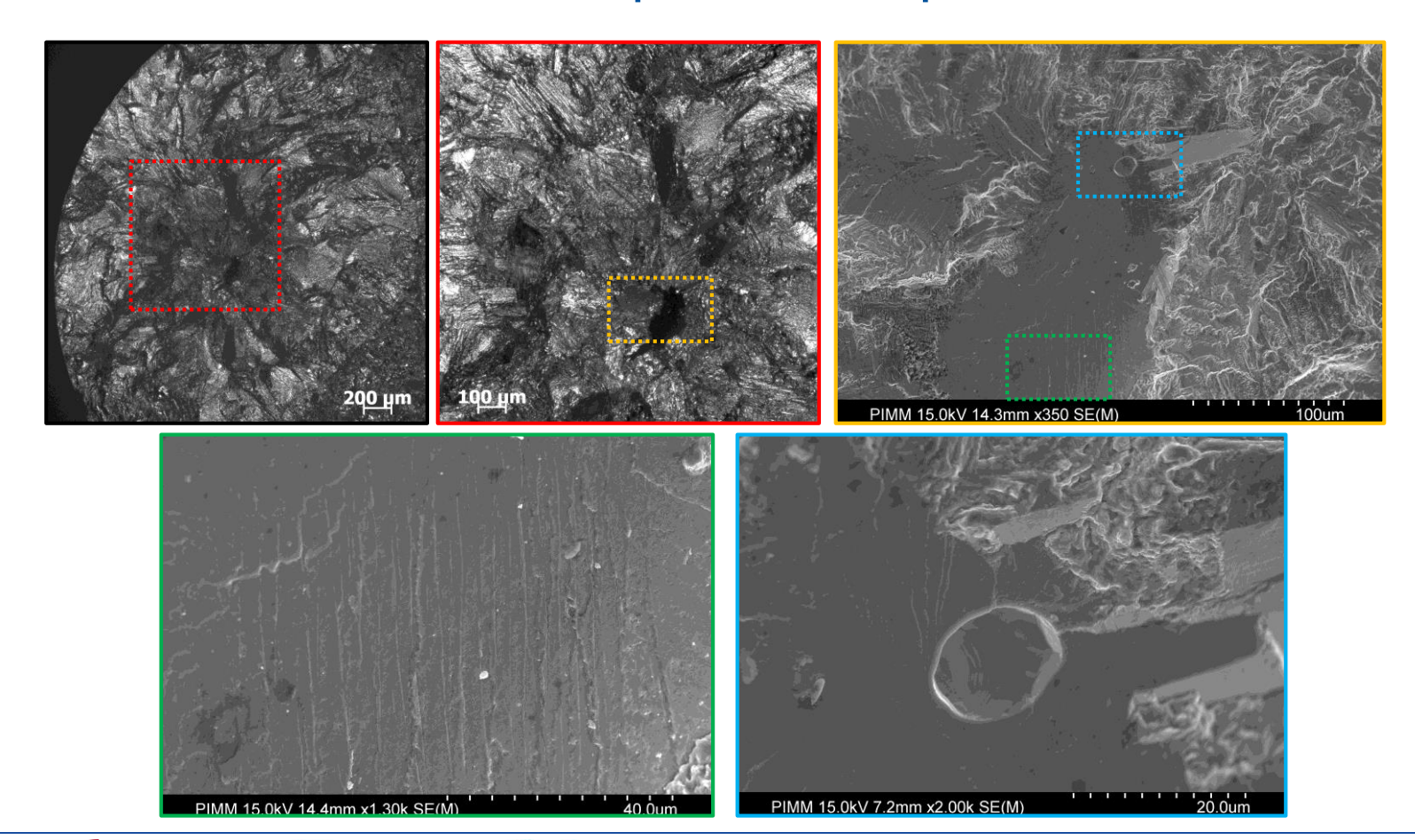






Faciès de rupture d'éprouvette P1_1020°C :

Facettes visibles sur tous les faciès, pore de 12 µm visible sur un seul faciès







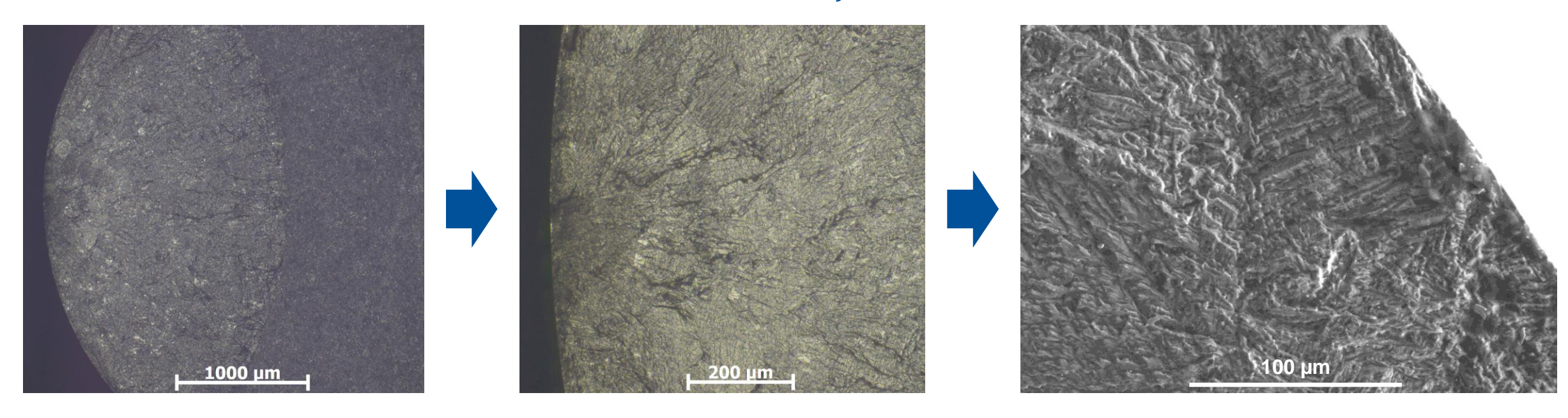






Exemple de faciès de rupture d'éprouvette P0_920°C (HIP) :

• Amorçage en surface sans pore visible ($N_f = 8.8 \cdot 10^7 \ cycles$)



> Pour tous les essais de cette étude, amorçage sur microstructure lorsque la taille de grain est plus grande que celles des pores







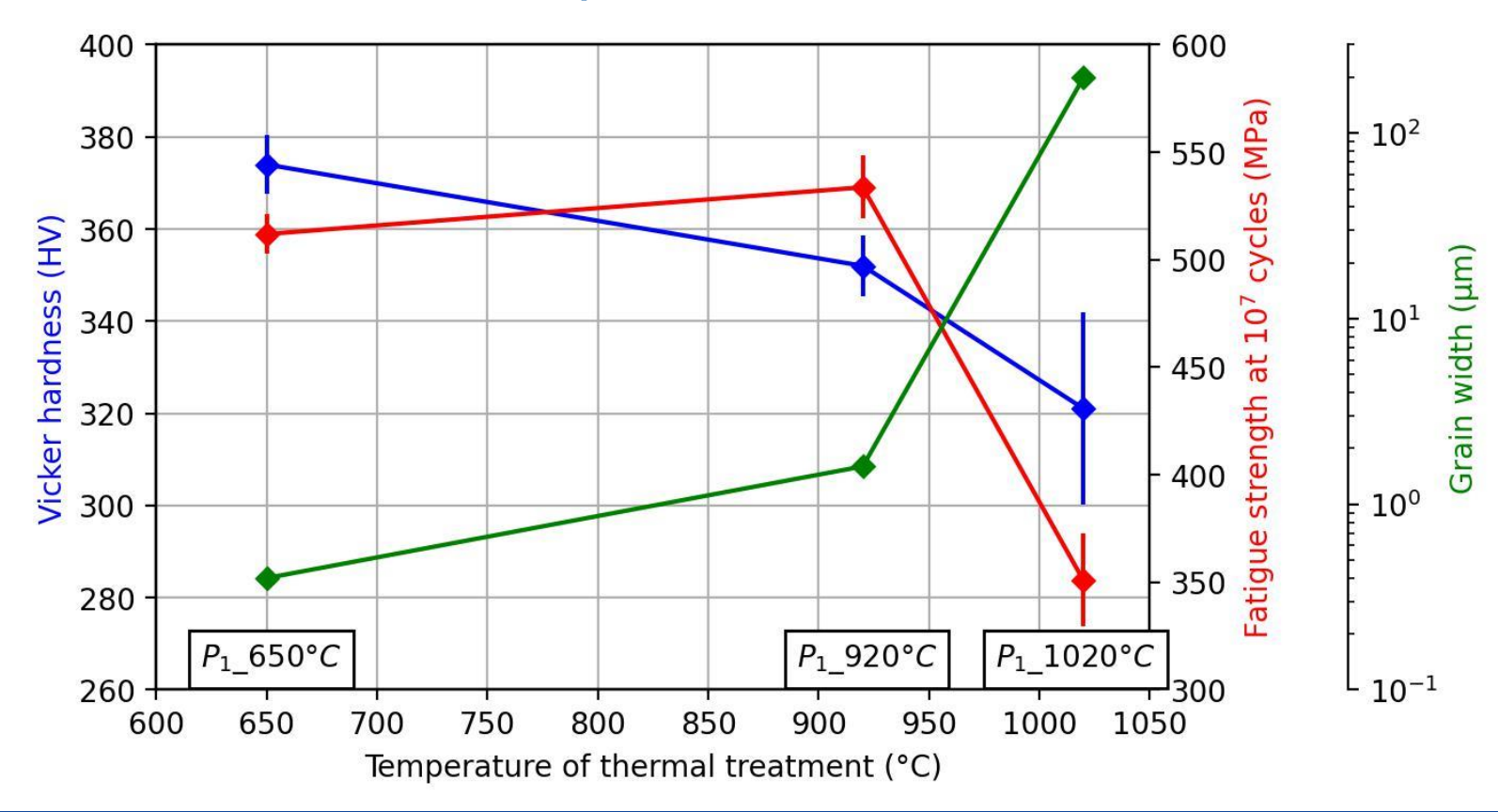




Discussion : effet de la microstructure

Résultats des nuances de même porosité : P1_650°C, P1_920°C, P1_1020°C

- Variation de la limite de fatigue non monotone avec la dureté ou $R_{e0,2\%}$
- Existence d'une température de post-traitement optimale proche de 920°C













Sommaire

- 1. Contexte et objectifs
- 2. Obtention et caractérisation des nuances
- 3. Essais de fatigue ultrasonique
- 4. Essais d'autoéchauffement
- 5. Conclusions et suite



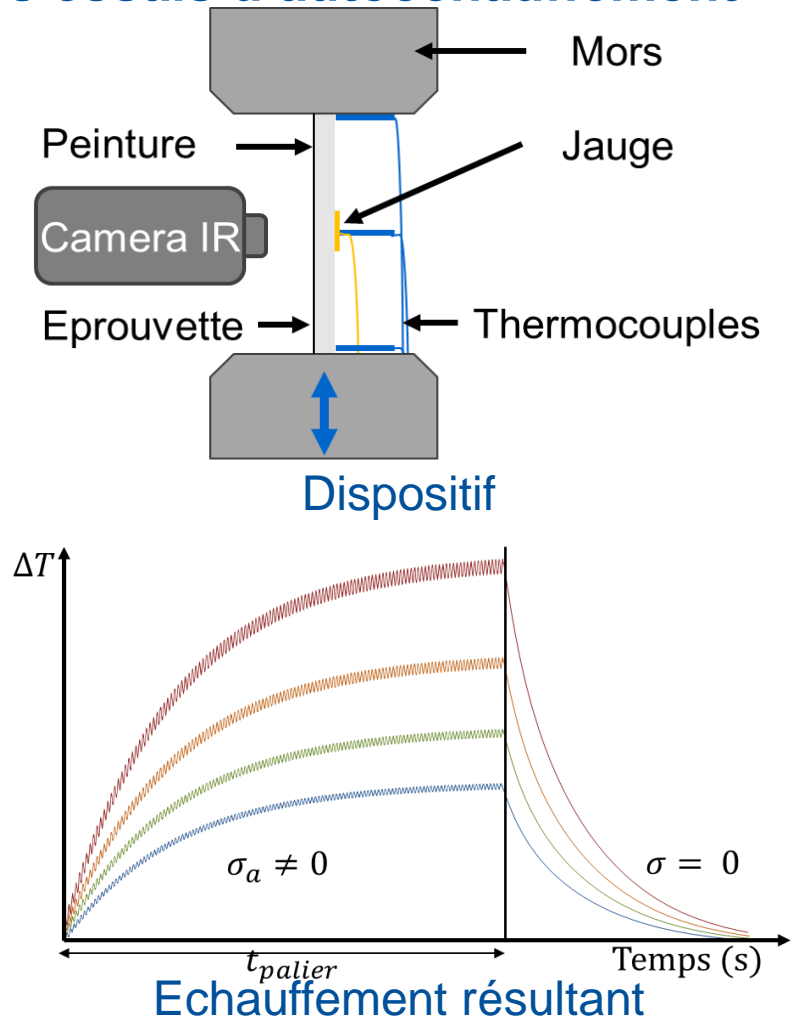


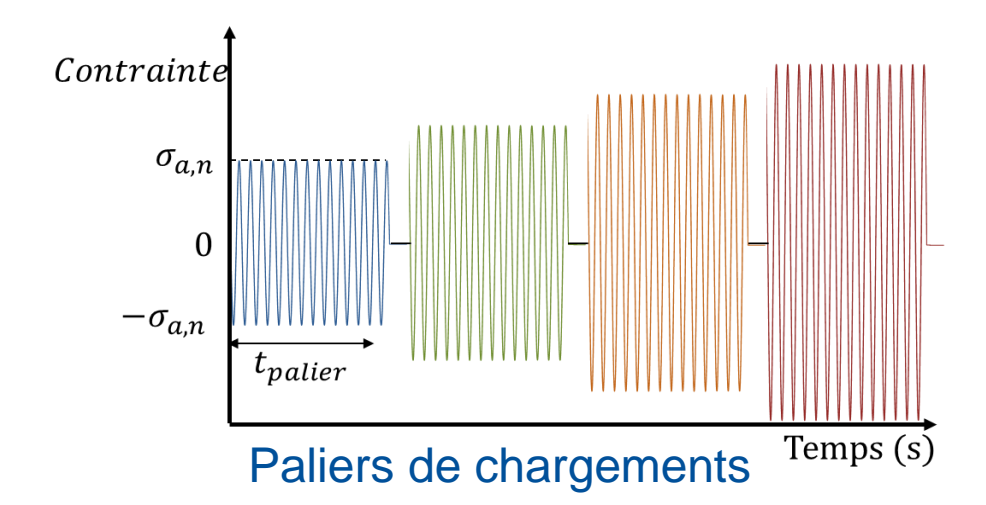


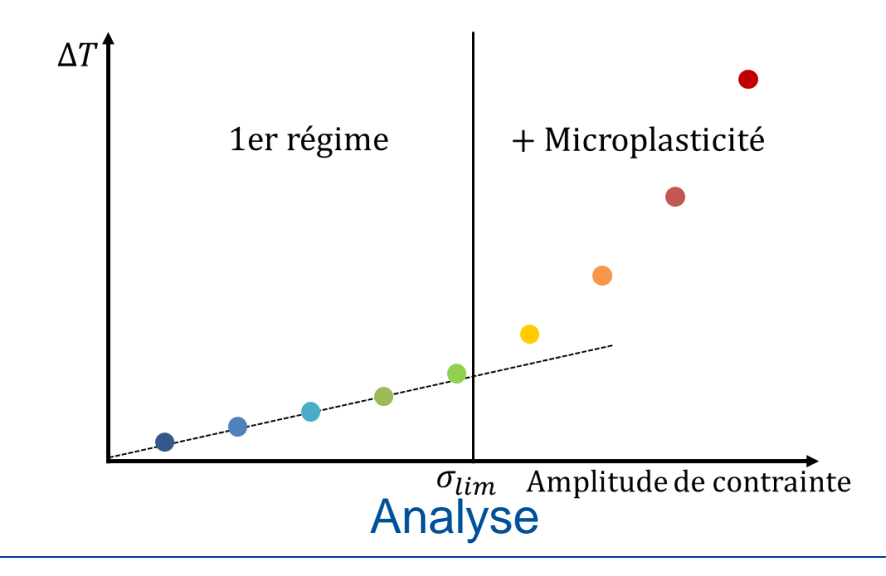




Principe des essais d'autoéchauffement











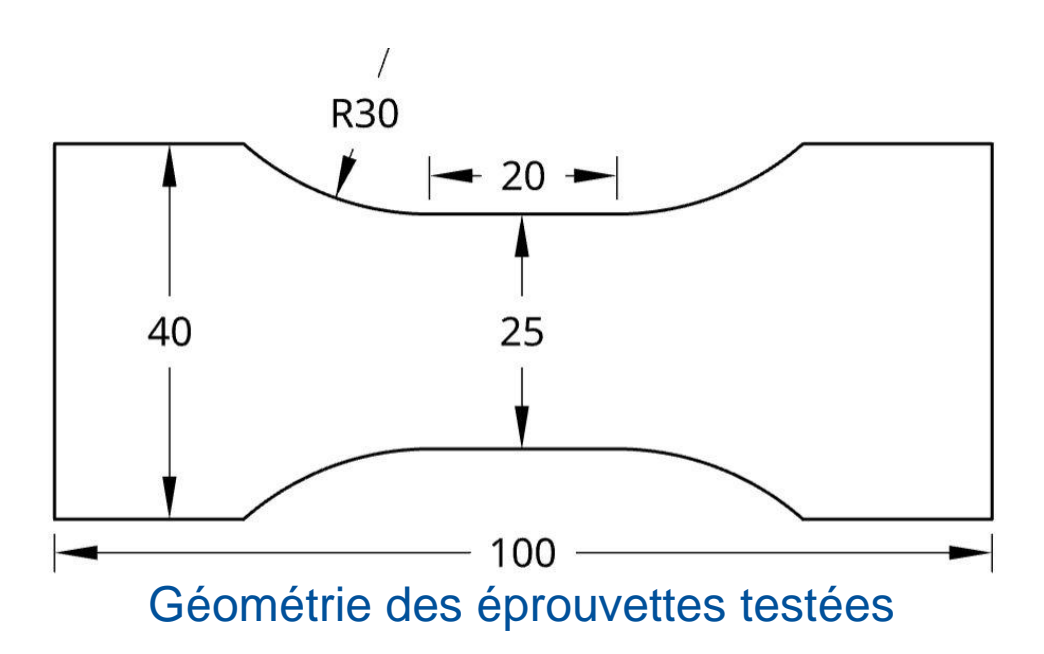






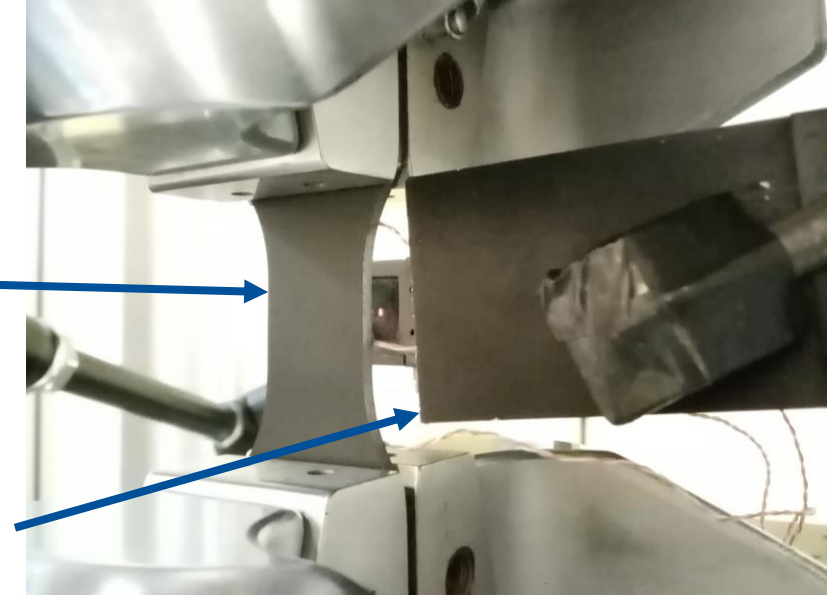
Méthode utilisée ici :

- Paliers de chargement de 50 cycles pilotés en force, $f_{load} = 4,87$ Hz, Rapport de charge R = -1
- Mesure thermique par caméra infrarouge synchrone, $f_{IR} = 99 \text{ Hz}$
- Analyse thermique 0D, démodulation du signal de température moyenne dans la zone de jauge
 - ightharpoonup Amplitudes des harmoniques A_{1f} , A_{2f} et vitesse d'échauffement $V_{echauff}$, pas de température stabilisée



Eprouvette face coté caméra IR

Plaque à température ambiante dans le champs de la caméra







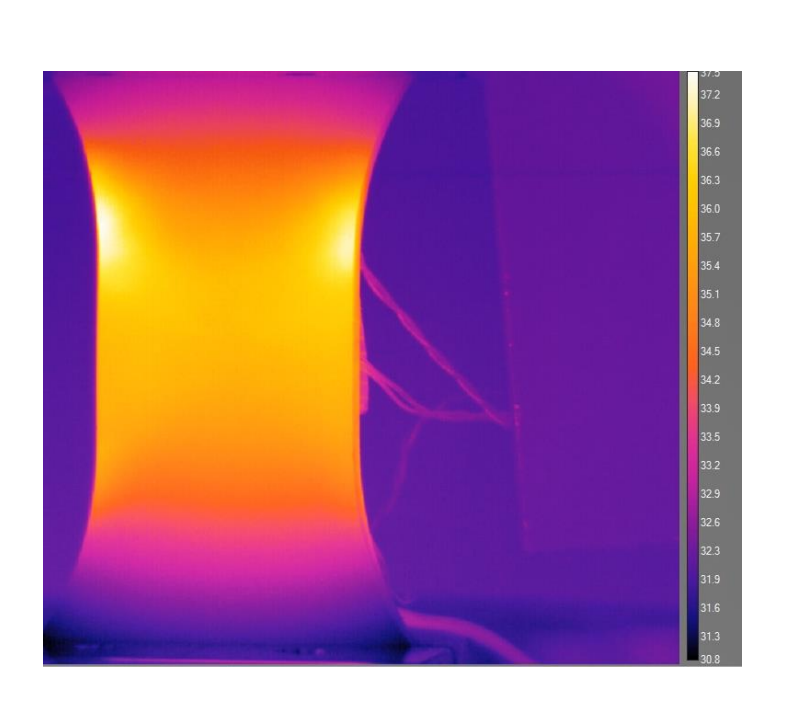


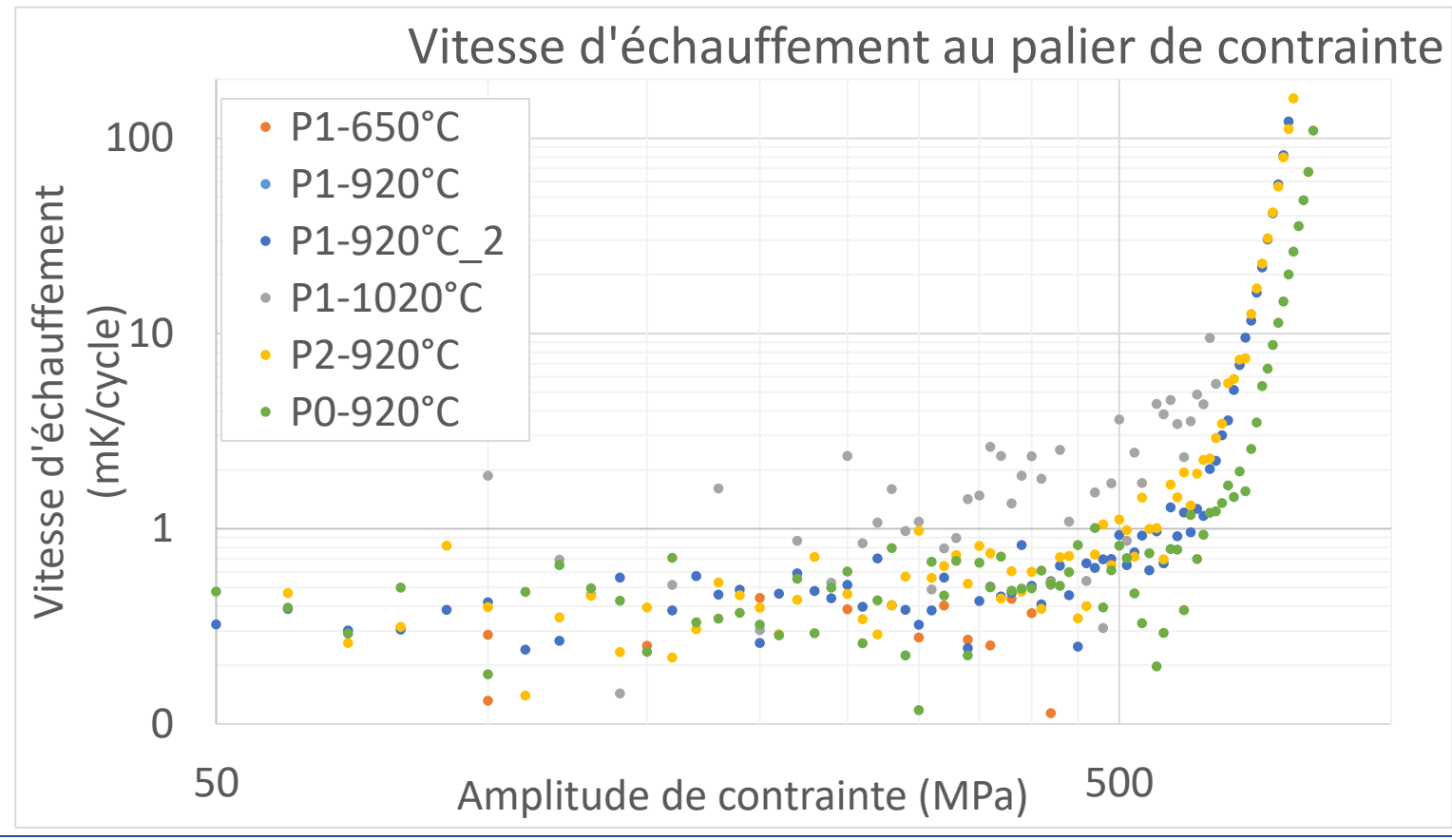




Analyse de la vitesse d'échauffement :

- Existence d'un deuxième régime d'AE $V_{echauff} \propto \sigma^{m+2}$
- Mais changement de régime bien après la limite de fatigue et lié à de la plasticité macroscopique















Nouveaux essais d'autoéchauffement avec des changements de méthode :

- 6000 cycles par palier, $f_{load} = 15,67Hz$
 - Variation de température et vitesse d'échauffement non bruitées dès les premiers paliers
 - Estimation de limite possible (225 MPa) mais essais de faisabilité réalisés sur des éprouvettes de traction déformée à 5 %
 - Prochains essais avec cette méthode











Sommaire

- 1. Contexte et objectifs
- 2. Obtention et caractérisation des nuances
- 3. Essais de fatigue ultrasonique
- 4. Essais d'autoéchauffement
- 5. Conclusions et suite











Conclusion

Résultats:

- Sensibilité de la fatigue ultrasonique à la microstructure et aux défauts internes
- Fort effet de la taille de microstructure et la taille des porosité sur la résistance en fatigue à très grand nombre de cycle

Futures travaux:

- Comparaison avec des essais conventionnels de fatigue (f ≈ 25 Hz) en cours de réalisation au CETIM
- Essais d'autoéchauffement complémentaires avec nouvelle méthodologie
- Modélisation des essais d'autoéchauffement











Merci pour votre attention

Contact :
Grégoire Brot
gregoire.brot@onera.fr
gregoire.brot@ensam.eu





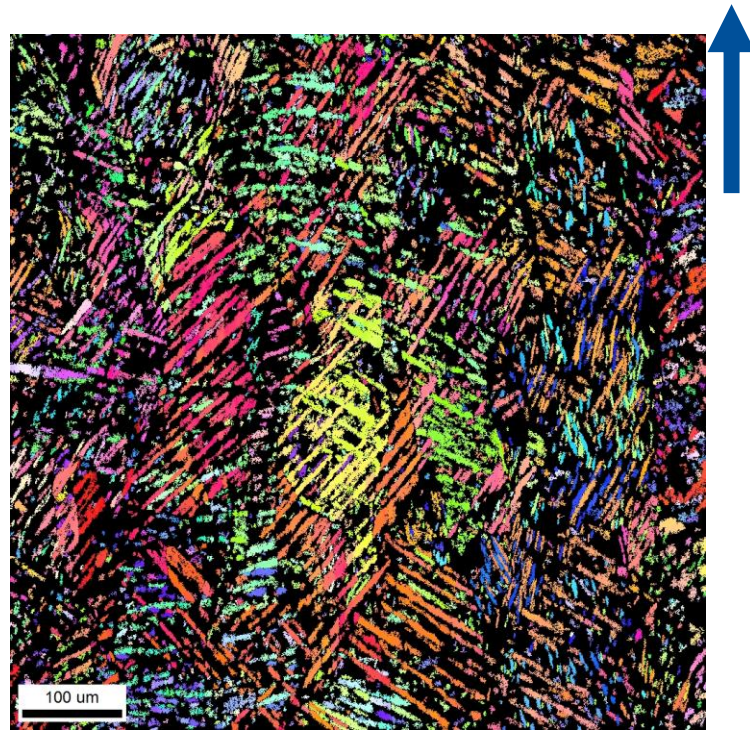




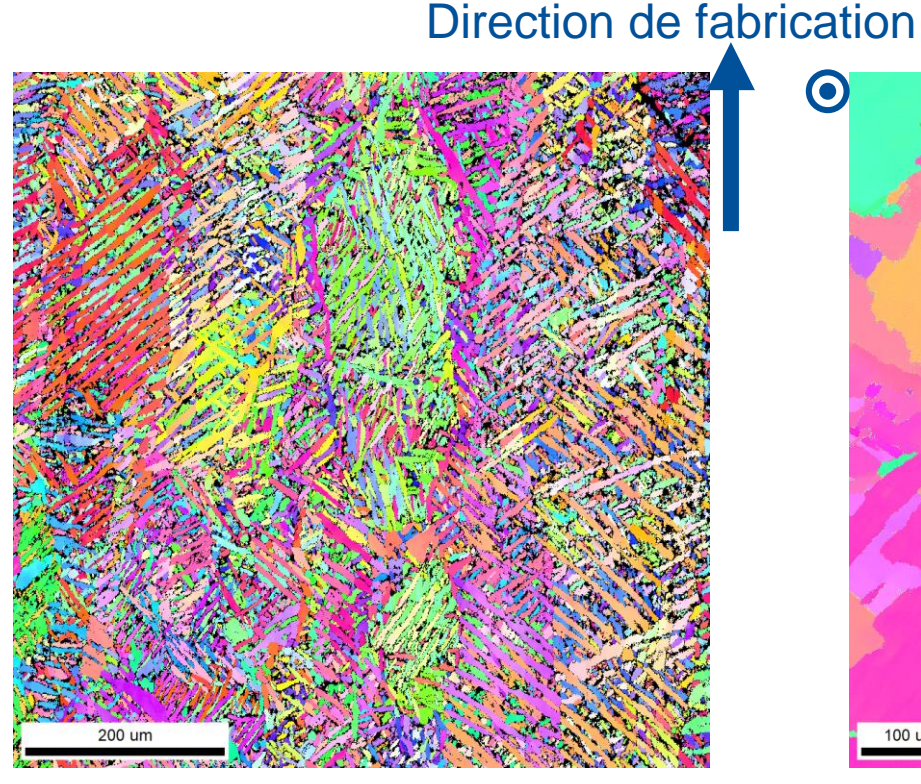


Obtention et caractérisation des nuances

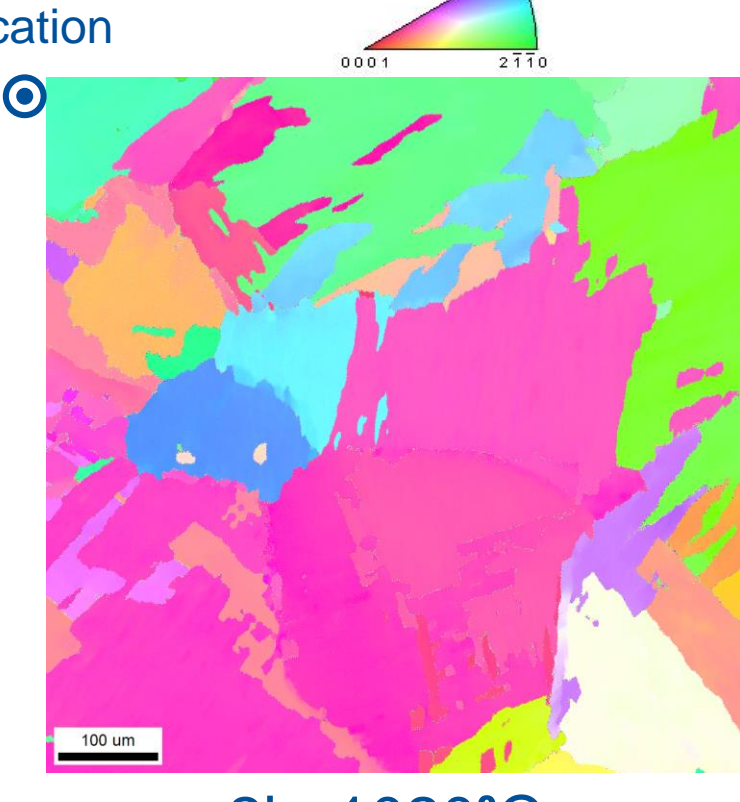
IPF EBSD même échelle



3h, 650°C, refroidis à l'air



2h à 920°C Refroidis au four



Titanium (Alpha)

Color Coded Map Type: Inverse Pole Figure [010]

1010

2h, 1020°C, refroidis au four





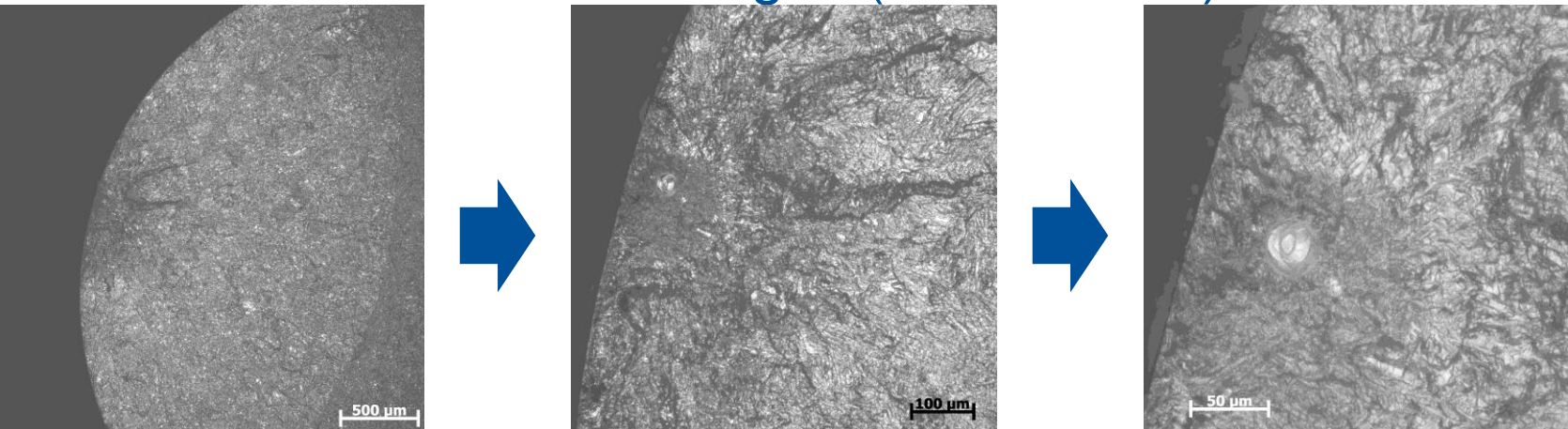




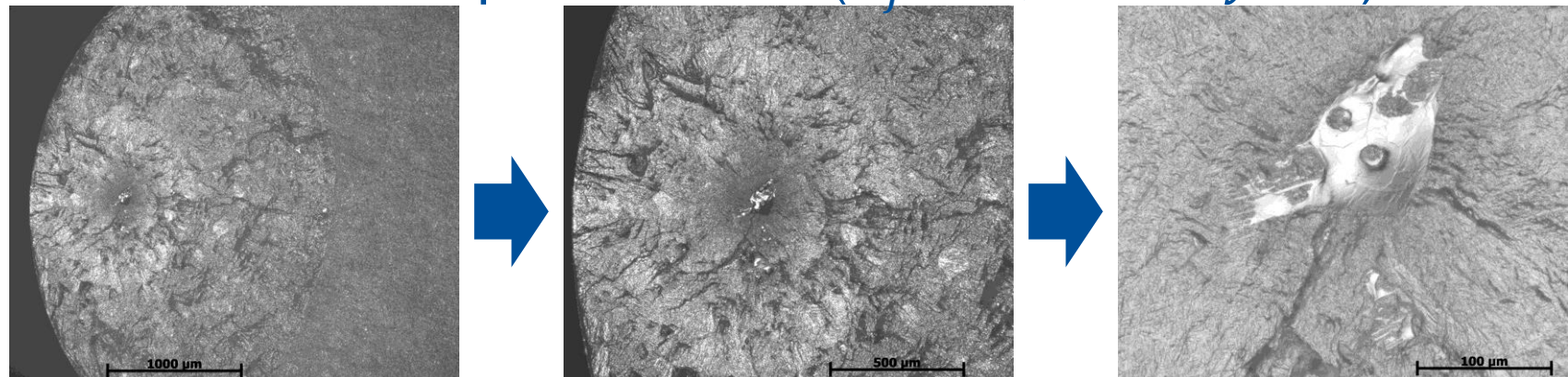


Exemples de faciès de rupture d'éprouvettes P1-920°C ou P1-650°C.

• Amorçage en subsurface sur bulle de gaz (essai Locati) :



• Amorçage interne sur manque de fusion ($N_f = 2.7.10^6 \ cycles$):









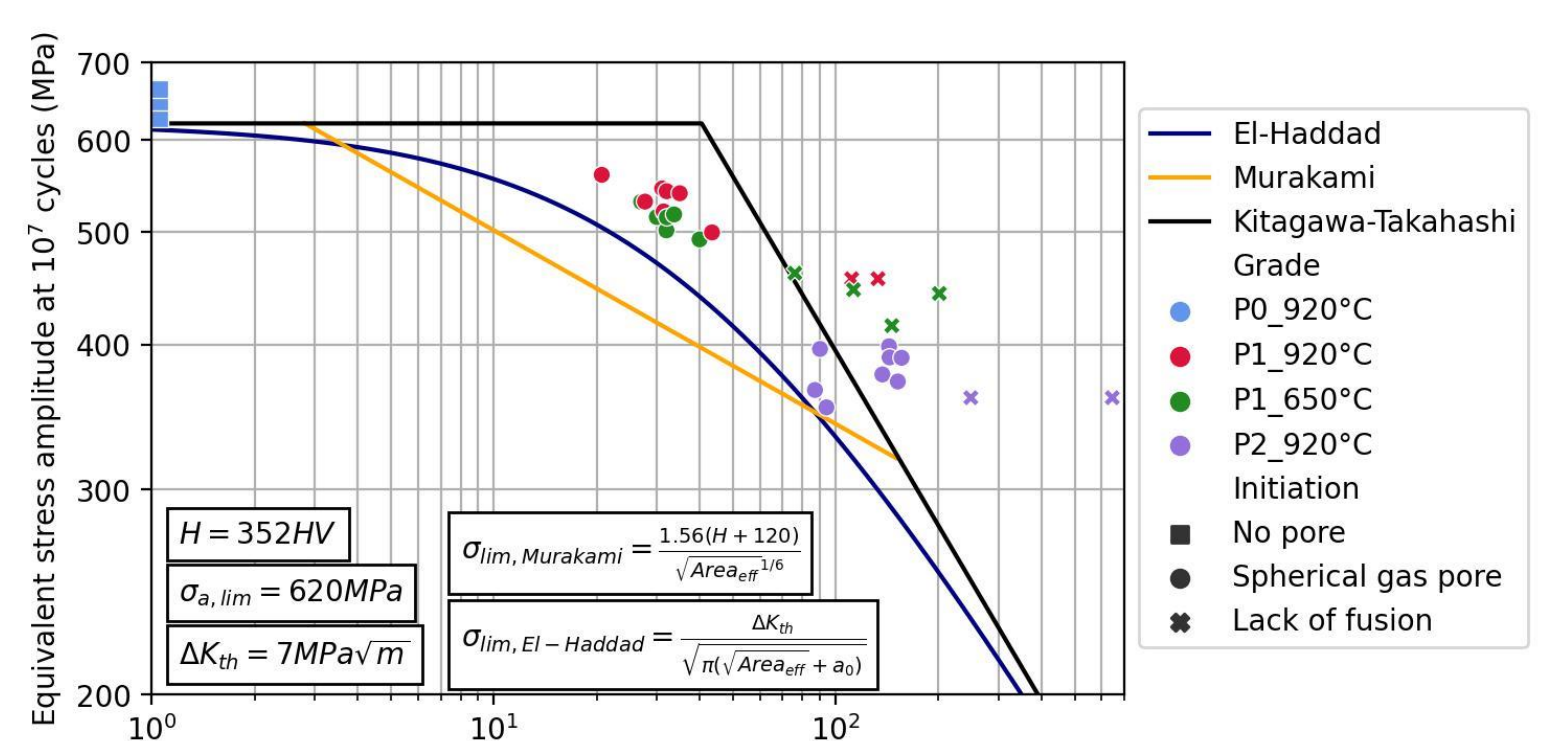




Discussion : effet des pores

Diagramme de Kitagawa-Takahashi:

- Amplitude de contrainte équivalente à 10^7 cycles selon la taille de défaut \sqrt{Area}
- Limite de fatigue la nuance P0_920°C prise pour $\Delta \sigma_{lim} = 620 \ MPa$
- Modèles de El-Haddad et de Murakami avec coefficients pour amorçages internes



Résultats de l'obtention et la caractérisation des nuances, des essais de traction et des essais de fatigue ultrasonique présentés dans un article soumis début décembre









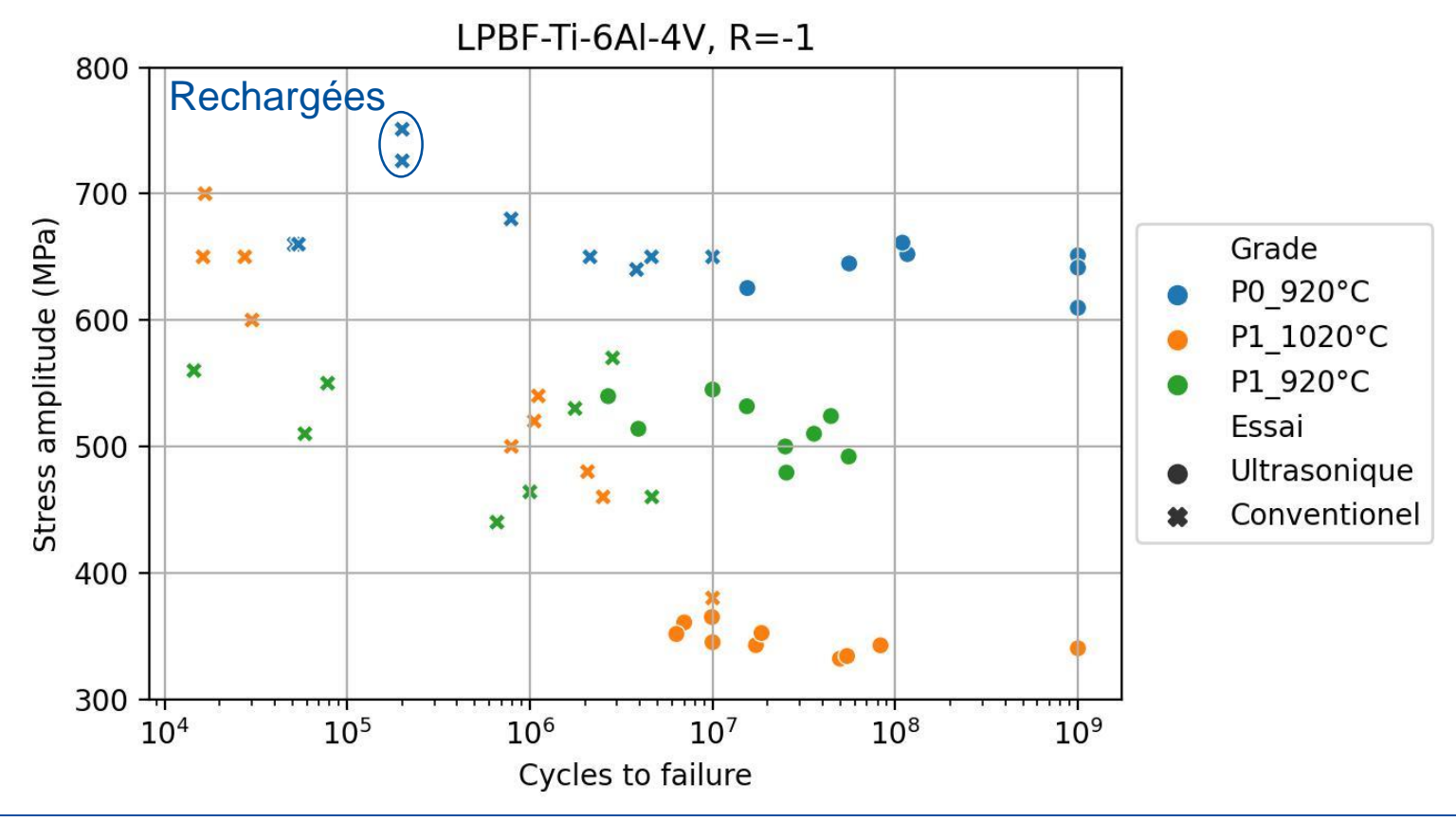
Defect size \sqrt{Area} (µm)



Discussion : effet des pores

Comparaison avec des essais conventionnels de fatigue (en cours) :

- Accord pour les nuances P0_920°C et P1_1020°C
- Pour la nuance P1_920°C accord ou non selon l'étude fractographique à venir













Analyse de la deuxième harmonique de température :

- Un seul régime d'autoéchauffement avec $A_{2f} \propto \sigma^2$, pas de changement de régime
- Pas de différence significative entre les différentes nuances

